

掃流砂輸送の確率過程としての特性とそのモデルの一般化

京都大学工学部 正員 中川 博次
 京都大学工学部 正員 ○辻本 哲郎
 Universidad de Chile Alejandro López

▷ 掃流砂移動とそれに伴う流砂量推進や河床変形の解析の問題は古くから多くの研究者によって取り組まれてきたものの、流砂-移動床力学が充分に体系化されているとは言い難い。これは、その問題の複雑さや多分に確率的要素を含んでいること等に原因しており、ある程度避けられない面もある。しかし、モデルとしての厳密さがさす欠けても、体系的なモデルを模索することは必ずしも流砂力学の進展につながるものと信じる。著者らは掃流砂れきの運動機構、掃流砂移動に伴う移動床現象の研究を進めているが、これと平行して stochastic model による移動床過程の体系的記述についても考察しており、その一環として行った掃流砂の dispersion に関する stochastic model の検討について報告する。

▷ 個々の掃流砂れきの運動とそのアンサンブル的運動を詳しく観察するため移動床において一個の着色砂れきの運動を何度も繰り返して追跡するというトレーザー実験を実施した。使用砂の中央粒径は 0.198 cm で、従来のトレーザー実験（着色砂粒群の分散状況の追跡）で用いられたものに比べて比較的小さい砂である ($= u_s^2 / (\eta - \eta_d)$) ので程大きい条件でトレーザーが河床に数粒程度まで埋没するところがあり、平坦河床とはいっても粒径程度の砂面の不規則性が存在した。この実験では掃流砂運動の各 step および next period を一つ一つ刻銘に記録されたので右表に示すようにこれらの間の独立性という確率モデルの基本仮定の検証が可能となった。表中の r は相関係数で添字 X, T はそれぞれ

RUN	τ_*	r_{TX}	r_{XT}	r_{XX}	r_{TT}
1	0.057	0.0303 (154)	-0.134 (138)	-0.0550 (146)	-0.0411 (142)
2	0.072	0.0299 (191)	-0.134 (175)	0.0555 (172)	-0.1071 (172)
3	0.062	-0.0068 (213)	-0.106 (191)	0.0117 (187)	-0.0347 (187)
4	0.053	-0.0170 (44)	-0.0958 (33)	0.0973 (33)	0.0387 (33)
5	0.074	0.0908 (260)	0.0810 (244)	0.0733 (249)	0.0287 (249)
6	0.072	0.0456 (305)	0.0497 (305)	0.0221 (303)	0.0766 (303)
7	0.086	-0.0187 (286)	-0.0479 (248)	0.0779 (270)	0.145 (268)

Note: Numbers in () denote the numbers of data.

step length, next period (ともに確率変数)を表し、連続するこれらの相関係数の値を示してある。また step length, next period の超過確率を図-1 および図-2 に示す。next period の方は平均 next period T_0 で規格化してある。これを見ると next period の方は平坦河床でも若干の河床の不規則性を配列した時、従来粗い砂の実験によく保証された指數分布からはずれ、それが見られ、step length が dunes 等が形成された場合に偏倚する（図-1 の Run 3 参照）との逆の傾向となる。すなはち河床の不規則性が増すと（dunes 等の形成を含む）、next period の変動係数は増加し、step length のそれは減少する。これは step length は表面を移動している砂に限らず測りられ、それが河床形状に強く支配されてること、河床形状は不規則とはいって、比較的規則的な傾向をも持つてること（たとえば、河床波長分布の変動係数は $0.3 \sim 0.5$ 程度）と指數分布のそれの半分以下である）による。こうしてずつの方はそのヒストグラムがベル型となり指數分布からのずれは特異で、これがも dune bed などでの step length の分布としては gamma 分布の適用が推奨された^{2), 3)}。一方 next period の場合は、河床の不規則性はトレーザーの next period を経験する位置（深さ方向）のばらつきを増加させ、図-3 に示すような理由で指數分布からずれる。すなはち、次の離脱機会を待つ条件が

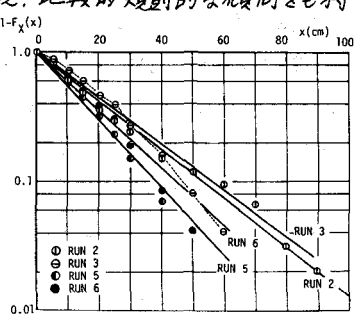


図-1 step length の分布例

一走なうば“指數分布に従がう”であろうか、その条件か、トレーサの位置の存在確率 $e(z)$ 、位置による条件付平均 nest period $\bar{T}(z)$ の違い¹⁾により、分布 $p(\bar{T})$ を有することになり、これに原因する。しかしこの傾向のすれば、ヒストグラムとしては J 型を保存するため従来それ程留意されなかつたのである。いま、 $p(\bar{T})$ は gamma 分布 (α : shape parameter, β : scale parameter) を仮定し、nest period の分布の密度関数を求めると、

$$f_{\bar{T}}(z) = \int_0^{\infty} \frac{1}{\bar{T}} \exp(-z/\bar{T}) p(\bar{T}) d\bar{T} = \frac{\beta^\alpha}{\Gamma(\alpha)} \int_0^{\infty} \bar{T}^{\alpha-1} \exp(-(\beta\bar{T} + \frac{z}{\bar{T}})) d\bar{T}$$

$\therefore z = T(\cdot)$ は gamma 関数

となり、とくに $\alpha = 3/2$ (\bar{T} の変動係数を $\sqrt{2/3} \approx 1.53$) の場合、

$$f_{\bar{T}}(z) = (3/T_0) \exp(-6\sqrt{6}z/T_0)$$

となる。この場合 nest period の全体としての変動係数は $\sqrt{7/3} \approx 1.53$ となり、実験結果とはほぼ一致する。また上式から求められる理論分布曲線を図-2 に破線で示した。

△ このように nest period, step length が指數分布に従がらない時の石の分散性状を知ることは比較的困難で、stochastic dispersion model の一般化を図る必要がある。分散性状を端的に示すのは大時間後の移動距離 $x(t)$ (確率過程) のモーメントである。いま大時間後 x だけ移動する確率密度関数を $f_x(x)$ とすると、 $f_x(x) = \sum_{n=1}^{\infty} f_x^{(n)*} P_n(t)$ となり、 $f_x(x)$ は step length の確率密度関数、 $P_n(t)$ は時間間隔 $(0, t]$ の間の step 数 $N(t)$ の確率である。確率 $f_x^{(n)*}$ は f の n 重重畠み込みを示す。 $t = kT$ とする、 $x(t)$ の r 次モーメントは、

$$E[\{x(t)\}^r] = \int_0^{\infty} x^r f_x(x) dx = \sum_{n=1}^{\infty} \{E[Y_n^r] \cdot P_n(t)\}, \quad \therefore Y_n = x_1 + x_2 + \dots + x_n,$$

で計算される。 $E[\cdot]$ は期待値オペラタである。いま各 step が独立である場合、 $E[Y_n^r]$ は、 r 次以下 の n の多项式²⁾ (係数は $\{X\}$ の特徴量) であるから、 $E[\{x(t)\}^r]$ は $N(t)$ の r 次以下モーメントだけで与えられることになる。そして、分散モデルの一観化を図った場合には計算上の難点となるのはこの $N(t)$ のモーメントである。とくに、

$$P_n(t) = \int_0^t [f_T^{(n)*}(z) - f_T^{(n+1)*}(z)] dz$$

であり、 $f_T(z)$ の Fourier 变換を $\phi_T(u)$ と書く ($\phi_T(u)$

$= \mathcal{F}[f_T(z)]$) と結局、

$$E[N(t)]^r = \int_0^t \mathcal{F}^{-1} [(1-\phi_T(u))^r \sum_{n=0}^{\infty} n^n \phi_T^n] du$$

と計算される。 \mathcal{F}^{-1} は Fourier 逆変換であり、 \sim の部分

は無限級数を利用 ($|\phi_T| < 1$) して求められる。この手順を図-4 に示してみく。なお、ここで扱う確率密度は非負であるから、上記の Fourier 变換は Laplace 变換に読み換えた方が実際計算を行なう場合容易となることもある (指數分布あるいは一部の gamma 分布では容易に解析的な計算が行なえる)。いま一次のモーメントだけを示すと、 $E[x(t)] = E[X] \int_0^t \mathcal{F}^{-1} [\phi_T/(1-\phi_T)] du$ となる。

分布形を規定しての計算例については講演時に示す。なお、こうした分布形による差異が顕著なのは x, t とも小さい時で step 数が十分大きくなると中心極限定理を用いて普遍的な漸近挙動となることも示される。

<参考文献> 1) 中川・辻本: 京大防災研年報, 1976, 2) Yang & Sayre : Proc. ASCE, HY, 1971, 3) Grigg : Proc. ASCE, HY, 1970.

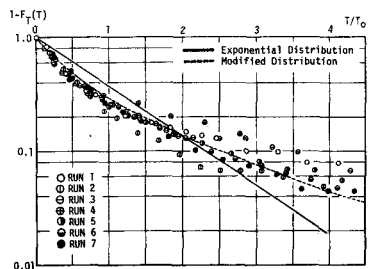


図-2 nest period の分布例

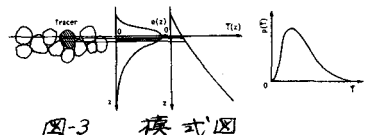


図-3 模式図

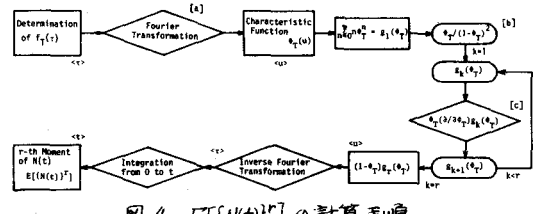


図-4 $E[N(t)]^r$ の計算手順